

كلية العلوم

القسم : المهنرياء

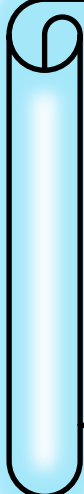
السنة : الرابعة



٩

المادة : انصاف نوافل

المحاضرة : اثاثة/نظري/



{{{ A to Z مكتبة }}}}

مكتبة A to Z Facebook Group

كلية العلوم ، كلية الصيدلة ، الهندسة التقنية



يمكنكم طلب المحاضرات برسالة نصية (SMS) أو عبر (What's app-Telegram) على الرقم 0931497960

الفصل الرابع دراسة ظواهر الحركة في المواد النصف الناقلة

Some of Kinetic Phenomena of Semiconductors

17 الناقلة الكهربائية للمواد نصف الناقلة (مفاهيم عامة):

Electric Conduction of Semiconductors (General Concepts)

يطلق اسم الظواهر الحركية على الظواهر الفيزيائية المرتبطة بحركة الحاملات الحرة للشحنة الكهربائية التي تحدث تحت تأثير الحقول الكهربائية والمغناطيسية أو بنتيجة وجود فروق حرارية بين طرفي نصف الناقل المدروso. وتشمل هذه الظواهر:

1. ظاهرة الناقلة الكهربائية،
2. والظواهر الكهربائية- الحرارية (الكهحرارية)،
3. والظواهر المغناطيسية الغلفانية (المغنوغلفانية)،
4. والظواهر المغناطيسية- الحرارية (المغنوحرارية).

لدى وجود نوع واحد من الحاملات الحرة للشحنة (الإلكترونات مثلاً)، فإن الناقلة الكهربائية النوعية (الناقلة النوعية *Conductivity* اختصاراً) تساوي

$$\sigma_n = en\mu_n, \quad (1)$$

حيث e شحنة الإلكترون، و n تركيز الإلكترونات الحرة، و μ_n **الحركية الانسياقية** *Drift Mobility* للإلكترونات، والحركية الانسياقية للإلكترونات كما نعلم هي كمية فيزيائية؛ تساوي عددياً **للسرعة الوسطية لانسياق** *Mean Drift Velocity* v_{mean} الإلكترونات في واحدة شدة الحقل الكهربائي E :

$$\mu_n = \frac{v_{mean}}{E}. \quad (2)$$

وإذا كانت حاملات الشحنة ثقلياً، فتعين ناقليتها الكهربائية وحركيتها بشكل مشابه لما سبق.

دراسة حركية الإلكترونات والثقوب وأليات تبعثرها:

Study of Electrons and Holes Mobility and their Scattering Mechanisms

تساوي السرعة الانسياقية النهائية *Final Drift Velocity* للإلكترونات وفقاً للنظرية الإلكترونية الأولية للفلزات

$$v_f = a\tau, \quad (3)$$

حيث a **التسارع** الذي اكتسبه الإلكترون تحت تأثير قوة الحقل الكهربائي، و τ **الزمن الوسطي** *Mean Time* الفاصل بين تصادمين متتالين للإلكترون مع الشبكة البلورية لنصف الناقل، أي الزمن الوسطي الحر لمسار الإلكترون.

نفرض أن الحركة الموجة للإلكترون تهدأ بعد كل تصادم من التصادمات المتتالية التي تحدث مع الشبكة البلورية ولذلك تُعد سرعة الانسياق الأولية **مساوية للصفر** $v_0 = 0$.

وبما أن القوة الكهربائية تتناسب طرداً مع شدة الحقل الكهربائي E ومن جهة أخرى طرداً مع التسارع a الذي يكتسبه الإلكترون وفق العلاقتين:

$$F = e\mathcal{E}; \quad F = ma. \quad (4)$$

وبالأخذ بالحساب العلاقة (3)، يمكننا كتابة العلاقات الآتية:

$$a = \frac{e}{m}\mathcal{E}; \quad v_{mean} = \frac{v_f + v_0}{2} = \frac{e\tau}{2m}\mathcal{E} \equiv \mu_n \mathcal{E}. \quad (5)$$

ومن ثم

$$\mu_n = \frac{e\tau}{2m}. \quad (6)$$

وبإتباع طريقة أكثر دقة **تأخذ بالحساب توزع الإلكترونات** على السرعات نحصل على المساواة الآتية:

$$\mu_n = \frac{e\tau}{m}. \quad (7)$$

تختلف العلاقة (7) عن العلاقة (6) فقط بمقام الكسر حيث توجد الكمية m عوضاً عن $2m$. وإذا استعملنا الصيغة (7) من أجل اتجاه واحد من الاتجاهات الممكنة في نصف الناقل، يمكننا كتابة العلاقة الآتية:

$$(\mu_n)_i = \frac{e}{m_i} \tau, \quad (8)$$

حيث $(\mu_n)_i$ حركة الإلكترون وفق أحد الاتجاهات (وفقاً محور مجسم القطع الناقص الذي يمثل سطح تساوي الطاقة من أجل Si و Ge، مثلاً)، و m_i المركبة الموافقة لتسور الكتلة الفعالة *Effective Mass Tensor* في الحالة العامة، **ثعد الحركة** (والناقلية الكهربائية بطبيعة الحال) في البلورات النصف الناقلة تسوراً، ولكن طالما توجد في البلورات من نوع السيليكون والجرمانيوم **قيعان** (أو دية) **متكافلة متاظرة**، فإن الحركة (والناقلية الكهربائية) لمثل هذه البلورات تبدو **متماثلة المناحي** *Isotopic Crystals*

$$\mu_{\sigma n} = \frac{1}{3} [(\mu_n)_1 + (\mu_n)_2 + (\mu_n)_3]. \quad (9)$$

وبشكل مشابه للعلاقة (8) يمكننا كتابة

$$\mu_{\sigma n} = \frac{e}{m_{\sigma n}} \tau, \quad (10)$$

ومن ثم

$$\frac{1}{m_{\sigma n}} = \frac{1}{3} \left(\frac{1}{m_1} + \frac{1}{m_2} + \frac{1}{m_3} \right) \quad (11)$$

وهذا يعني أننا حصلنا على علاقة تسمح لنا بتعيين الكتلة الفعالة للناقلية $m_{\sigma n}$. وعلى وجه الخصوص، يمكن إيجاد قيمة $m_{\sigma n}$ من أجل السيليكون والجرمانيوم إذ تُعطى الحسابات القيم العددية الآتية:

$$\left(m_{\sigma n}\right)_{\text{Ge}} = 0.12 \text{ } m \quad \text{و} \quad \left(m_{\sigma n}\right)_{\text{Si}} = 0.22 \text{ } m$$

خلافاً للنظرية الإلكترونية الأولية يُعيّنُ الزَّمْن τ ؛ **كزمن الاسترخاء** يصف عملية استعادة الحالة المتوازنة (التي جرى خرقها بالحقل الكهربائي) بعد إزالته.

تُخرق حالة التوازن الموافقة لدرجة الحرارة المعطاة **لدى تطبيق** حقل كهربائي \vec{E} وخلق انسياق لحاملات الشحنة. وإذا فصلنا الحقل الكهربائي، فإن جملة الجسيمات تُؤول إلى حالة التوازن خلال فترة من الزمن. يمكن بشكل تقريري أن نعد **زمن الاسترخاء**، بعد فصل الحقل الذي أدى لانحراف جملة الجسيمات عن وضع التوازن، مساوياً **لزمن الوسطي لمسارها**. في الواقع، إذا فقدت سرعة الحركة الموجّهة لحاملات الشحنة بنتيجة تصادمٍ وحيدٍ، فإن هذه الفرضية تكون مقبولة. ولكن الطريقة الأكثر دقة تؤدي لاستنتاج مفاده، أن زمن الاسترخاء والزمن الوسطي للمسار الحر يُعدان مقدارين من نفس الرتبة.

يمكن حدوث تبعثر Scattering إلكترونات وثقوب الناقلة على كلٍ من:

→ الأيونات والشوائب الذريّة المعتدلة، والعيوب النقطية للبنية البلوريّة،

→ والانخلاعات، وتحوم البلورات، وسطوح الالتحام، وتحوم الحبيبات،

→ والإلكترونات والثقوب،

→ والاهتزازات الحراريّة للشبكة البلوريّة (الفونونات).

أولاً- إن التبعثر على أيونات الشوائب ينشأ نتيجة تأثير الشحنات الكهربائية (التأثير المتبادل فيما بينها):

فالإيونات **المُبعِّرَة** (بإشارة ما) **تحرف** بحقلها الكهربائي كلاً من الإلكترونات والثقوب، ثم إن هذا الانحراف يكون **أقوى** كلما كانت حركة حامل الشحنة **أبطأ** وكلما **اقترب** من أيون الشائبة أكثر فأكثر.

▪ **يُحسب مقدار الانحراف** رياضياً من خلال إيجاد مسار حركة الجسيمة المشحونة في الحقل المركزي للأيون؛

وذلك بشكل مشابه لمسألة إيجاد تبعثر جسيمات α -Particles، Rutherford،

▪ **ثم يجري الحصول على احتمال التبعثر؛**

▪ **وبعد ذلك نحصل** على علاقة من أجل **زمن الاسترخاء**.

فعند التبعثر على أيونات الشائبة **Ions** (في درجات حرارة **ليست منخفضة جداً**) في أنصاف النواقل

اللامتحلة وجد اعتماداً على علاقة زمن الاسترخاء أن **الحركيّة تناسب طرداً** مع المقدار $T^{3/2}$:

$$\mu_{im} = a T^{3/2}. \quad (12)$$

يمكن أن يكون التبعثر على أيونات الشائبة في البلورات الأحادية Mono-crystals، الآلية الرئيسية في مجال درجات الحرارة المنخفضة، وعندها يكون تقريب العلاقة (12) محققاً من أجل الحد العلوي لمجال درجات الحرارة المنخفضة. ولكن من أجل مجال درجات الحرارة العاملة- مجال عمل معظم المواد والنبائط الناقلة، **تنخفض الحركيّة** عادةً بارتفاع درجة الحرارة.

ثانياً- عند التبعثر على الاهتزازات الحرارية للشبكة البُلُوريَّة في أنصاف النواقل الامتحالة **تناسب الحركيَّة عكساً** مع

درجة الحرارة وفق $T^{-3/2}$ ، ولذلك يمكن كتابة العلاقة الآتية:

$$\mu_{TV} = b T^{-3/2}. \quad (13)$$

بهذا الشكل، نجد أنه في **درجات الحرارة المتوسطة والمرتفعة نسبياً**، يمكن أن تتناقص الحركيَّة نتيجة التأثير المسيطر للتبعثر على الاهتزازات الحرارية للشبكة.

ثالثاً- أمَّا عند التبعثر على **الانخلاعات** فتم الحصول على المساواة الآتية:

$$\mu_{Disl} = c T^{-1/2}. \quad (14)$$

رابعاً- وعند التبعثر على **المراكز المعتدلة الشحنة** (الشوائب)، لا تتعلق الحركيَّة بدرجة الحرارة **بشكل واضح**. فتأثير درجة الحرارة يظهر على تركيز الشوائب التي تبقى غير متأينة (أي غير النشطة كهربائياً) فقط؛ إذ أن تركيز الشوائب من هذا النوع يمكن أن ينخفض، في مجال درجات الحرارة المرتفعة، بارتفاع درجة الحرارة، **وتزداد** **عندها الحركيَّة** الموقعة.

عندما تؤثر **الآليات المختلفة للتبعثر** **بأن معاً**، بصورة مستقلة عن بعضها البعض، فإن الاحتمال الإجمالي للتبعثر يساوي لمجموع احتمالات التبعثر على كل نوع من المراكز المُبَعَّثَة. ومن ثمَّ الزمن الكلي للاسترخاء يُعين بالعلاقة

$$\tau^{-1} = \sum_i \tau_i^{-1}, \quad (15)$$

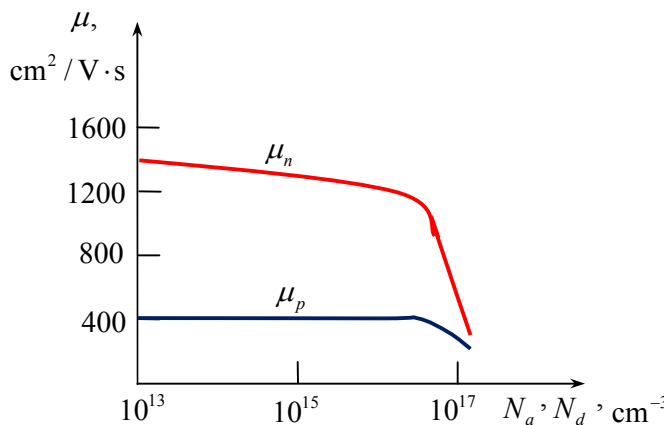
حيث τ_i الزمن الجزيئي (*i-time*) للاسترخاء.

يُعينَ الزمن الكلي للاسترخاء τ ، وفق العلاقة (15)، بصورة رئيسية، بتلك العملية الجزيئية التي **تنصف بأقل زمن استرخاء**؛ يُحسب زمن الاسترخاء هذا من أجل الطاقة الحرارية الوسطية $\frac{3}{2} k_B T$ للجسيمات لأن الجسيمات التي طاقاتها قريبة من الطاقة الوسطية تُشكِّلُ القسم الرئيسي من الحاملات الحرة للشحنة (في غاز غير متحلل).

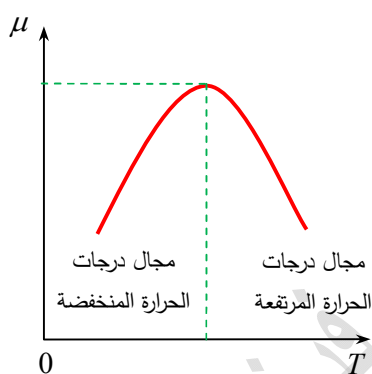
لقد تمت الإشارة إلى هذا التأثير التفضيلي (المهيمن) للعملية الجزيئية المتصفة بزمن استرخاء أصغرٍ سابقاً، عند دراسة الحركيَّات في درجات حرارة مختلفة. **تُعيَّن عادةً قيمة الحركيَّة** من العلاقة الآتية:

$$\frac{1}{\mu_n} = c_1 T^{-3/2} + c_2 T^{3/2}. \quad (16)$$

تم الاكتفاء بتحقيق فقط في الطرف الأيمن من العلاقة (16)، لكونهما يتصنفان **بقيم وازنة** عادةً. أضف إلى ذلك، طالما التبعثر على أيونات الشوائب هو الآلية المسيطرة في درجات الحرارة المنخفضة نسبياً، وفي درجات الحرارة الأعلى ارتفاعاً **يُصبح التبعثر على الاهتزازات الحرارية للشبكة البُلُوريَّة هو المسيطر**، فيمكن تصور المسار الوصفي العام لمنحنى الحركيَّة، ($T = \mu$ ، بالصورة التي يوضحها **الشكل** (1)).



الشكل (2): تابعية وصفية لحركة الإلكترونات عند تغير تركيز المانحات وحركة الثقوب عند تغير تركيز الآخذات في السيليكون



الشكل (1): التابعية الحرارية لحركة حوامل الشحنة الكهربائية في أنصاف النوافل.

لا تتعلق الحركة بدرجة الحرارة وحسب، بل بتركيز الشوائب أيضاً. إذ بازدياد تركيزها، كما في حالة نشوء نوافص أخرى في الشبكة البلورية، يزداد التبعثر وتقلل الحركة، والشكل (2) يوضح تابعية حركة الإلكترونات والثقوب لتركيز الشوائب في السيليكون في الدرجة $T = 300$ K.

ومن ثم، بازدياد مقاومة المادة المدروسة (السيليكون مثلاً) في المجال المشوب تزداد الحركة عادةً، لأن العينة الأكثر مقاومة تتصرف بتتركيز أقل من الشوائب.

يستعرض **الجدول** (4) بعض متحولات بلورات السيليكون، والجرمانيوم، وزرنيخيد الغاليم، حيث تُنسب قيم الحركة للبلورات النقيّة في درجة حرارة الغرفة. وقيم الكتل الفعالة الموضوعة في أقواس مأخوذة من المراجع. يجدر بالذكر أن السيليكون والجرمانيوم يمتلكان بنية بلورية من نوع **الألماس** وزرنيخيد الغاليم بنية بلورية من نوع **كيريتيد الزنك**.

دراسة تابعية الناقلة الكهربائية لأنصاف النوافل بدرجة الحرارة وتركيز الشوائب تتألف الناقلة النوعية في الحالة العامة من مجموعة حدود، يتعين كل حِد فيها بعلاقة من الشكل (1)؛ وعلى وجه الخصوص، إذا كانت حاملات الشحنة إلكترونات وثقوب، فإننا نحصل على المعادلة الآتية:

$$\sigma = en\mu_n + ep\mu_p . \quad (17)$$

في مجال الناقلة الذاتية يتساوى تركيز الإلكترونات مع تركيز الثقوب وعندها تُكتب علاقة الناقلة بالشكل الآتي:

$$\sigma_i = e(\mu_n + \mu_p)n_i = e(\mu_n + \mu_p)\sqrt{N_c N_v} e^{-\frac{\Delta E_0}{2k_B T}} . \quad (18)$$

على الرغم من أن الحركيتين μ_n و μ_p وكذلك الأعداد الفعالة للحالات N_c و N_v تتعلق بدرجة الحرارة، إلا أن هذه التابعيات ضعيفة للغاية بالمقارنة مع المقدار الأسني، $e^{\frac{\Delta E_0}{2k_B T}}$. ولهذا السبب، فإن مسار التابع $(T = f(\sigma_i))$ ، وفقاً للعلاقة (18)، يتصف بعاملأسني، أما المعامل الواقع أمامه فيمكن عده في مجالات واسعة من درجة الحرارة ثابتة عملياً.

الجدول (4-5): وسطاء أنصاف النواقل

GaAs	Ge	Si	وحدة القياس	اسم الوسيط
5.654	5.658	5.430	Å	وسط الشبكة البلورية في الدرجة 300 K
2.45	2.45	2.35	Å	المسافة بين أقرب الذرات المجاورة
4.43×10^{22}	4.42×10^{22}	5×10^{22}		عدد الذرات في 1 cm^{-3}
				عرض المنطقة المحظورة
1.43	0.665	1.105	eV	في الدرجة 300 K
1.52	0.756	1.21	eV	في الدرجة 0 K
				الكتلة الفعالة للإلكترون بواحدات كتلة الإلكترون الحر:
0.043-0.071	0.12	0.22		
0.043-0.071	0.26	0.33		لكثافة الحالات المحسوبة بالنسبة لوحدة واحدة:
				الكتلة الفعالة للثقب بواحدات كتلة الإلكترون الحر
0.5-0.68	0.43 (0.28)	0.49		للثقوب الثقيلة:
0.12	0.04; 0.08	0.16; 0.24		للثقوب الخفيفة:
	0.37 (0.39)	0.59 (0.55)		لكثافة الحالات:
11000	3950	1900	$\frac{\text{cm}^2}{\text{V} \cdot \text{s}}$	الحركية القصوى للإلكترونات المحسوبة (من أجل أكثر البلورات نقاوة) في الدرجة 300 K
450	1900	425	$\frac{\text{cm}^2}{\text{V} \cdot \text{s}}$	الحركية القصوى للثقوب المحسوبة (من أجل أكثر البلورات نقاوة) في الدرجة 300 K
1.4×10^6	2.4×10^{13}	1.5×10^{10}	cm^{-3}	تركيز الإلكترونات في نصف ناقل ذاتي في الدرجة 300 K
3.7×10^8	46	2.3×10^5	$\Omega \cdot \text{cm}$	المقاومة النوعية لنصف ناقل ذاتي في الدرجة 300 K

ومن ثم

$$\log \sigma_i = A - \frac{0.43 \Delta E_0}{2k_B \cdot 10^3} \cdot \frac{10^3}{T}, \quad (19)$$

هذا يعني أنه في مجال الناقلية النوعية الذاتية يُعد المقدار $\log \sigma_i$ تابعاً خطياً لدرجة الحرارة $(1/T)$ عملياً. ثم إن المعامل الزاوي للمستقيم يتحدد بعرض المنطقة المحظورة، على غرار ما بدا عليه المعامل الزاوي عند إنشاء التابعية $n_i = f(T)$ ، ورسمها وفق العلاقة (6)، أي أنه يُشابه العلاقة (8):

$$\Delta E_0 = 0.4 \operatorname{tg} \alpha \text{ eV} \quad \text{و} \quad \operatorname{tg} \alpha = \frac{0.43 \Delta E_0}{2k_B \cdot 10^3}$$

يكون أحد حدّي العلاقة (17)، في المجال المشوب، صغيراً بالمقارنة مع الحد الآخر، لأن تركيز الحاملات الأساسية للشحنة أقل بكثير من تركيز الحاملات الأساسية. ومن ثمّ تعطي العلاقة (17) تابعية أحادية الحد لدرجة الحرارة من أجل التراكيز المتوازنة حتى بلوغ مجال نضوب الشوائب، أو في حال عدم توفر مجال النضوب، حتى مجال الناقلية النوعية الذاتية. وهذا يعني أنه لدينا، من أجل نصف ناقل إلكتروني، المساواة الآتية:

$$\sigma_n = e \mu_n \sqrt{\frac{N_c N_d}{2}} e^{-\frac{\Delta E_d}{2k_B T}} \quad (20)$$

وبشكلٍ موافقٍ يكون لدينا من أجل نصف ناقل ثقبي المساواة الآتية:

$$\sigma_p = e \mu_p \sqrt{\frac{N_u N_a}{2}} e^{-\frac{\Delta E_a}{2k_B T}} \quad (21)$$

ومن المساواة (20) يمكن كتابة العلاقة الآتية:

$$\log \sigma_n = B - \frac{0.43 \Delta E_d}{2k_B \cdot 10^3} \cdot \frac{10^3}{T}. \quad (22)$$

ومنه:

$$\operatorname{tg} \alpha_d = \frac{0.43 \Delta E_d}{2k_B \cdot 10^3} \quad (23)$$

ومن ثم

$$\Delta E_d = 0.4 \operatorname{tg} \alpha_d \text{ eV} \quad (24)$$

وبشكلٍ مشابهٍ، نحصل على ما يأتي من أجل نصف الناقل الثقبي:

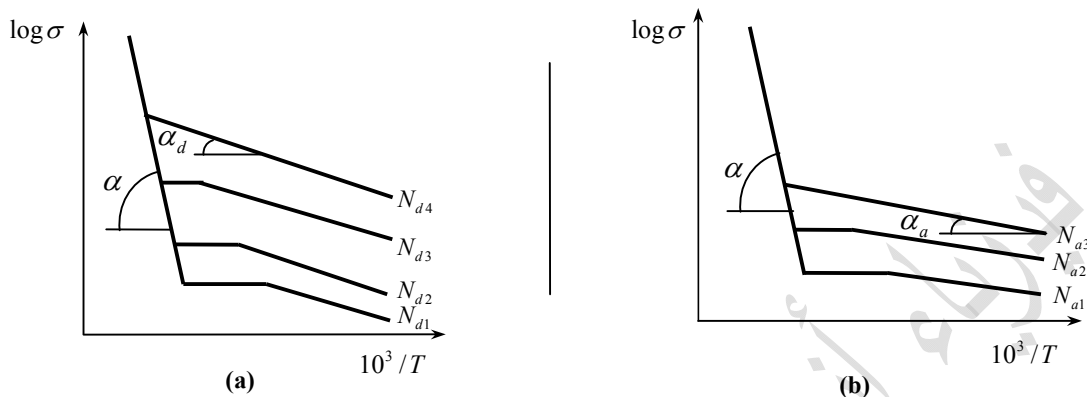
$$\log \sigma_p = C - \frac{0.43 \Delta E_a}{2k_B \cdot 10^3} \cdot \frac{10^3}{T}. \quad (25)$$

ومنه:

$$\operatorname{tg} \alpha_a = \frac{0.43 \Delta E_a}{2k_B \cdot 10^3} \quad (26)$$

ومن ثم:

$$\Delta E_a = 0.4 \operatorname{tg} \alpha_a \text{ eV.} \quad (27)$$



الشكل (3): تابعة الناقلية الكهربائية النوعية σ لدرجة الحرارة المطلقة T في نصف الناقل الحاوي:

(a) مانحات بتراكيز مختلفة (يزداد التركيز بازدياد الرقم التسلسلي).

يتحدد مسار التابع (T) في مجال نضوب الشوائب بالتابعة $(T)^\mu$. وعلى وجه الخصوص، إذا انخفضت الحرکیة μ في مجال النضوب مع ارتفاع درجة الحرارة T ، فإن الناقلية $(T)^\mu$ أيضاً تنخفض.

يوضح **الشكل** (3) منحنيات التابع $f(1/T) = \log \sigma$ من أجل نصف ناقل إلكتروني من أجل تراكيز مختلفة للمانحات، N_d ، ومن أجل نصف ناقل ثقبي عند اختلاف تراكيز الآخذات، N_a . إذا درسنا في كلتا الحالتين نصف الناقل نفسه (السيلكون مثلاً)، فإن المنحنيات في مجال الناقلية النوعية الذاتية تملك الميل ذاته. إذ تتحدد زاوية ميل المنحنيات في المجال المشوب بطاقة تأين المانحات والآخذات، أي تتعين بالعلاقتين (24) و (27). ولكن مسار المنحنيات في أنصاف النواقل الحقيقة يختلف بعض الشيء عن المنحنيات المثلية، التي يوضحها **الشكل** (3).

دراسة الناقلية النوعية بين مستويات الشوائب في أنصاف النواقل والعوازل واستنتاج علاقة الناقلية النوعية:

Study of Conductivity between Impurity Levels in Semiconductors and Dielectrics

- في نموذج ذرات الإشابة الشبيهة بذرة الهيدروجين، **والذي درس في الفقرة 8**، لم يؤخذ تأثير الذرات (التأثير المتبادل فيما بينها) Atom Interaction بالحسبان.

- ولكن عند ازدياد تركيز الشوائب في بلورة الجermanيوم وبلغه نحو 10^{15} cm^{-3} ، فإن التابع الموجية لذرات الإشابة المتجاوحة ترافق مع بعضها البعض بشكل ملحوظ.

- وطالما في البلورات الحقيقة، توجد عملياً وبشكل دائم شوائب معدلة جزئياً (راجع الفقرة 15)، فإنه، إذا كان $N_d > N_a$ ، على سبيل المثال، وترابكت التابع الموجية لمراکز المانحة المتجاوحة، تظهر إمكانية عبور الإلكترونات بطريقة **النفق** من مراکز مانحة مشغولة إلى مراکز مانحة فارغة (شاغرة).

▪ وفي درجات الحرارة المنخفضة جداً (عندما $T \approx 0$) يبلغ تركيز المراكز المشغولة $N'_d = N_d - N_a$ ، وتركيز المراكز الشاغرة يبلغ N_a . في هذه الحالة، حتى عندما $T = 0$ ، تكون الناقلة الكهربائية ممكناً بين الشوائب (فيما بين الحالات المتوضعة Localized States !).

في حقيقة الأمر، لدى تطبيق حقل كهربائي على البلورة الناقلة ثلاحظ انتقالات منتظمة للإلكترونات بين المستويات الطافية Energetic Levels للمانحات؛ من المستويات المشغولة إلى المستويات الشاغرة، أي تحصل ناقلة كهربائية بين مستويات الشوائب. وطالما أن مراكز الإشبابة موزعة بعيدة عن بعضها البعض، فإن حركة إلكترونات مستويات الشوائب أقل بشكل ملحوظ من حركة إلكترونات عصابة الناقلة. **ولذلك، عند ارتفاع درجة الحرارة تسود الناقلة الكهربائية العصبية العاديّة الناتجة من انتقال الإلكترونات من عصابة التكافؤ إلى عصابة الناقلة.**

- عند ازدياد تركيز الشوائب، فإن تراكم التوابع الموجية لـإلكترونات مراكز الإشبابة المجاورة يبدو كبيراً، لدرجة أن مستوى شائبة وحيد يتعرض (أي يتسع)، **مشكلاً عصابة طاقة** (تسمى عصابة شوائب)، **توضّع** في المنطقة المحظورة لنصف الناقل أو العازل.
- وعند الزيادة اللاحقة لتركيز المانحات يمكن أن تلams عصابة الشوائب مع عصابة الناقلة (أو مع عصابة التكافؤ من أجل نصف ناقل من النوع- p عند ارتفاع تركيز الآخذات)، بحيث تبدو كثافة الحالات مختلفة عن الصفر في ذلك المكان من المنطقة المحظورة- مكان نشوء عصابة الشوائب. بما أن العيوب المختلفة في البنية البلورية تكون، على غرار ذرات الشوائب (حالة خاصة لعيوب البنية البلورية)، مستويات طاقة في المنطقة المحظورة، فمن الممكن ظهور عصابات شوائب في أنصاف النواقل والعوازل الامتحانسة واللامنتظمة.
- **توضّف هذه الحالة لاحقاً بشكل مفصّل**. وهنا تُشير فقط إلى أن الناقلة الكهربائية في عصابة الشوائب (بين الحالات المتوضعة) يمكن أن تؤثر في الناقلة الكهربائية الإجمالية ثم إنّ مدى هذا التأثير متعلق بدرجة الحرارة وبالتردد أيضاً إذا كان الحقل الكهربائي متناوباً. على الرغم من أن الناقلة الكهربائية العاديّة التي تحدث في عصابة التكافؤ أو عصابة الناقلة تقوّق بكثير الناقلة الكهربائية في عصابة الشوائب، إلا أنه وفي الكثير من الحالات، لا بد منأخذ الناقلة الأخيرة بالحسبان.